

**МИНОБРНАУКИ РОССИИ**  
**САНКТ-ПЕТЕРБУРГСКИЙ ГОСУДАРСТВЕННЫЙ**  
**ЭЛЕКТРОТЕХНИЧЕСКИЙ УНИВЕРСИТЕТ**  
**«ЛЭТИ» ИМ. В.И. УЛЬЯНОВА (ЛЕНИНА)**  
**Кафедра математического обеспечения и применения ЭВМ**

**ОТЧЕТ**  
**по лабораторной работе №2**  
**по дисциплине «Цифровая обработка сигналов»**  
**Тема: Частотный анализ полиномиальных приближений**

Студент гр.8382

\_\_\_\_\_

Нечепуренко Н.А.

Студент гр.8382

\_\_\_\_\_

Терехов А.Е.

Преподаватель

\_\_\_\_\_

Сучков А.И.

Санкт-Петербург

2021

## **Цели работы**

Анализ частотных характеристик известных формул полиномиального сглаживания временных рядов и формул численного интегрирования.

## **Основные теоретические положения**

В качестве временного ряда рассматривается дискретный сигнал с шагом дискретизации, равным единице.

Под полиномиальным сглаживанием понимается аппроксимация в смысле МНК значений конечного (нечетного) числа элементов сглаживаемого ряда полиномом заданного порядка с присвоением среднему из этих элементов значения сглаживающего полинома в центре выбранного временного отрезка. Такой подход соответствует так называемому сглаживанию в скользящем окне.

В качестве исследуемых формул численного интегрирования используются квадратурные формулы Ньютона-Котеса.

## **Постановка задачи**

Получить формулы для передаточных функций нерекурсивных фильтров, соответствующих полиномиальному сглаживанию дискретного сигнала для полиномов различного порядка и построить графики  $\tilde{H}(f)$ . Проинтерпретировать частотные свойства передаточных функций. Провести сопоставительный анализ частотных характеристик передаточных функций для различных степеней полиномов. Получить формулы для передаточных функций рекурсивных фильтров, соответствующих квадратурным формулам Ньютона-Котеса различного порядка. Проинтерпретировать частотные свойства передаточных функций. Провести сопоставительный анализ частотных характе-

ристик передаточных функций для различных квадратурных формул.

### Порядок выполнения работы

1. Вывести формулы для передаточной функции нерекурсивного фильтра, соответствующего сглаживанию прямой линией по 3, 5, 7 и 9 точкам. Построить графики  $\tilde{H}(f)$ . Проинтерпретировать частотные свойства передаточных функций для различного количества точек.
2. Вывести формулы для передаточной функции нерекурсивного фильтра, соответствующего сглаживанию полиномом второй степени по 7, 9, 11 и 13 точкам. Построить графики  $\tilde{H}(f)$ . Проинтерпретировать частотные свойства передаточных функций для различного количества точек.
3. Вывести формулы для передаточной функции нерекурсивного фильтра, соответствующего сглаживанию полиномом четвёртой степени по 9, 11, 13 и 15 точкам. Построить графики  $\tilde{H}(f)$ . Проинтерпретировать частотные свойства передаточных функций для различного количества точек.
4. Вывести формулы для передаточной функции нерекурсивного фильтра, соответствующего сглаживанию по формулам Спенсера по 13, 15 и 21 точкам. Построить графики  $\tilde{H}(f)$ . Проинтерпретировать частотные свойства передаточных функций для различного количества точек.
5. Построить графики из предыдущих пунктов в логарифмической шкале (Дб). Объясните, чем отличаются данные графики от полученных ранее и объясните их смысл.
6. Провести сопоставительный анализ свойств передаточных функций, полученных при выполнении пп. 1-4.
7. Вывести формулы передаточных функций рекурсивных фильтров, соответствующих квадратурным формулам прямоугольников, трапеций и Симпсона. Построить графики передаточных функций и графики отно-

шения вычисляемого в результате фильтрации значения к истинному. Проинтерпретировать частотные свойства полученных передаточных функций.

8. Вывести формулу передаточной функции рекурсивного фильтра, соответствующего квадратурной формуле:

$$y_{n+2} = y_{n-1} + \frac{1}{8}(x_{n+2} + 3x_{n+1} + 3x_n + x_{n-1})$$

Построить график передаточной функции и график отношения вычисляемого в результате фильтрации значения к истинному. Проинтерпретировать частотные свойства передаточной функции.

9. Провести сопоставительный анализ частотных характеристик передаточных функций, полученных при выполнении пп. 7 и 8.

### Выполнение работы

1. Обозначим входной сигнал  $s(t)$ . После сглаживания полиномом первой степени, выходной сигнал будет иметь вид  $y(t) = A + Bt$ . Вычислим симметричный фильтр для  $m$  точек. Используя метод наименьших квадратов задача сводится к минимизации выражения:

$$f(A, B) = \sum_{k=-m}^m (s_k - y_k)^2 = \sum_{k=-m}^m (s_k - A - Bk)^2 \mapsto \min$$

Для минимизации выражения примем частные производные равными

0. Вычислим частную производную по  $A$ :

$$\begin{aligned} \frac{\partial f(A, B)}{\partial A} &= -2 \sum_{k=-m}^m (s_k - A - Bk) = 0 \Rightarrow \\ &\Rightarrow - \sum_{k=-m}^m s_k + \sum_{k=-m}^m A + \sum_{k=-m}^m Bk = 0 \end{aligned}$$

Отсюда можно выразить  $A$ , так как  $\sum_{k=-m}^m Bk = 0$ .

$$A = \frac{1}{2m+1} \sum_{k=-m}^m s_k$$

Тогда выходной сигнал в момент времени 0 имеет вид:

$$y(0) = A = \frac{1}{2m+1} \sum_{k=-m}^m s_k$$

В общем случае:

$$y(n) = \frac{1}{2m+1} \sum_{k=-m+n}^{m+n} s_k$$

Вычислим формулу передаточной функции фильтра, положив  $s_k$  равным  $e^{j\omega k}$ .

$$y(n) = \frac{1}{2m+1} \sum_{k=-m}^m e^{j\omega k} = H(\omega)$$

Используя следствие из формулы Эйлера  $\cos x = \frac{e^{jx} + e^{-jx}}{2}$  получаем

$$H(\omega) = \frac{1}{2m+1} \left( 1 + \sum_{k=1}^m 2\cos(k\omega) \right)$$

Перейдем к  $\tilde{H}(f) = H(2\pi f) = H(\omega)$  путем замены аргумента. Получаем следующие формулы для 3, 5, 7, 9 точек:

$$\tilde{H}_3(f) = \frac{1}{3}(1 + 2\cos 2\pi f)$$

$$\tilde{H}_5(f) = \frac{1}{5}(1 + 2\cos 2\pi f + 2\cos 4\pi f)$$

$$\tilde{H}_7(f) = \frac{1}{7}(1 + 2\cos 2\pi f + 2\cos 4\pi f + 2\cos 6\pi f)$$

$$\tilde{H}_9(f) = \frac{1}{9}(1 + 2\cos 2\pi f + 2\cos 4\pi f + 2\cos 6\pi f + 2\cos 8\pi f)$$

Отобразим полученные функции на интервале  $f \in [0; 1]$  (см. рис. 1).

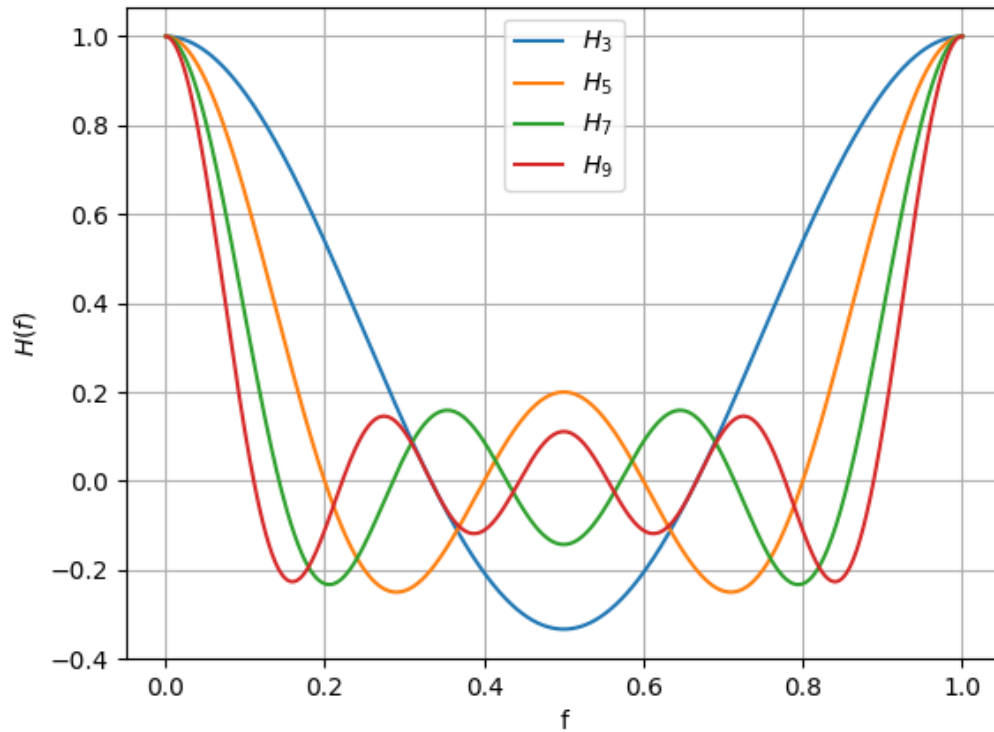


Рисунок 1 – Графики передаточных функций, полином первой степени

Можно заметить, что график передаточной функции, построенной по  $m$  точкам будет иметь  $m$  экстремумов.

2. После сглаживания полиномом второй степени, выходной сигнал будет иметь вид  $y(t) = A + Bt + Ct^2$ . Аналогично п. 1 минимизируем значение выражения

$$f(A, B) = \sum_{k=-m}^m (s_k - y_k)^2 = \sum_{k=-m}^m (s_k - A - Bk - Ck^2)^2 \mapsto \min$$

Приравняем к нулю частные производные по  $A$  и  $C$ , получим

$$\begin{aligned} \begin{cases} \frac{\partial f(A,B,C)}{\partial A} = 0 \\ \frac{\partial f(A,B,C)}{\partial C} = 0 \end{cases} &\Rightarrow \begin{cases} -2 \sum_{k=-m}^m (s_k - A - Bk - Ck^2) = 0 \\ -2 \sum_{k=-m}^m k^2 (s_k - A - Bk - Ck^2) = 0 \end{cases} \Rightarrow \\ \Rightarrow \begin{cases} -\sum_{k=-m}^m s_k + \sum_{k=-m}^m A + \sum_{k=-m}^m Bk + \sum_{k=-m}^m Ck^2 = 0 \\ -\sum_{k=-m}^m k^2 s_k + \sum_{k=-m}^m Ak^2 + \sum_{k=-m}^m Bk^3 + \sum_{k=-m}^m Ck^4 = 0 \end{cases} \end{aligned}$$

что приводит к системе уравнений, относительно  $A$  и  $C$

$$\begin{cases} (2m+1)A + \frac{m(m+1)(2m+1)}{3}C = \sum_{k=-m}^m s_k \\ \frac{m(m+1)(2m+1)}{3}A + \frac{m(m+1)(2m+1)(3m^2+3m-1)}{15}C = \sum_{k=-m}^m k^2 s_k \end{cases}$$

откуда можно выразить  $A$

$$A = \frac{\sum_{k=-m}^m k^2 s_k - \frac{3m^2+3m-1}{5} \sum_{k=-m}^m s_k}{\frac{m(m+1)(2m+1)}{3} - \frac{(3m^2+3m-1)(2m+1)}{5}}$$

Для сглаживания по 7 точкам формула будет иметь вид

$$\begin{aligned} y_7 &= \frac{\sum_{k=-3}^3 k^2 s_k - 7 \sum_{k=-3}^3 s_k}{28 - 49} = \frac{1}{21} (7 \sum_{k=-3}^3 s_k - \sum_{k=-3}^3 k^2 s_k) = \\ &= \frac{1}{21} (-2s_n - 3 + 3s_{n-2} + 6s_{n-1} + 7s_n + 6s_{n+1} + 3s_{n+2} - 2s_{n+3} + 3) \end{aligned}$$

Вычислим формулу передаточной функции фильтра, положив  $s_k$  равным  $e^{j\omega k}$ . Группируя аналогично п.1 симметричные экспоненты в косинусы получаем:

$$\tilde{H}_7(f) = \frac{1}{21} (7 + 12\cos 2\pi f + 6\cos 4\pi f - 4\cos 6\pi f)$$

Выполним аналогичные вычисления для 9, 11 и 13. Формулы переда-

точных функций фильтра приведены ниже.

$$\tilde{H}_9(f) = \frac{1}{231}(59 + 108\cos 2\pi f + 78\cos 4\pi f + 28\cos 6\pi f - 42\cos 8\pi f)$$

$$\tilde{H}_{11}(f) = \frac{1}{429}(89 + 168\cos 2\pi f + 138\cos 4\pi f + 88\cos 6\pi f + \\ + 18\cos 8\pi f - 72\cos 10\pi f)$$

$$\tilde{H}_{13}(f) = \frac{1}{143}(25 + 48\cos 2\pi f + 42\cos 4\pi f + 32\cos 6\pi f + \\ + 18\cos 8\pi f - 22\cos 10\pi f)$$

Отобразим полученные функции на интервале  $f \in [0; 1]$  (см. рис. 2).

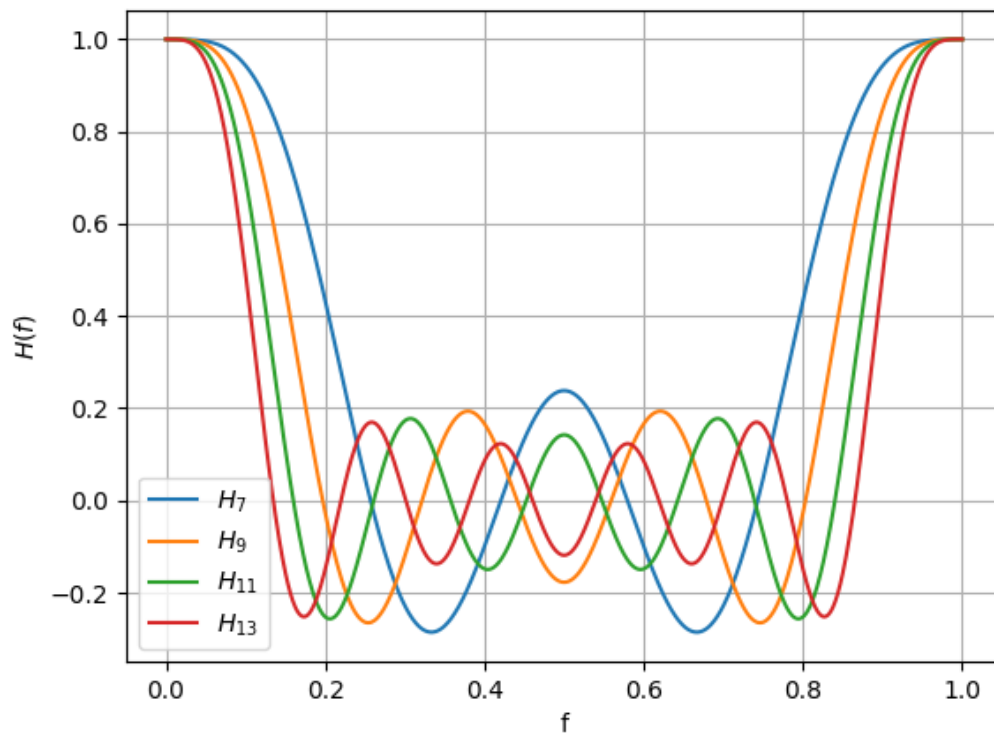


Рисунок 2 – Графики передаточных функций, полином второй степени

3. После сглаживания полиномом второй степени, выходной сигнал будет иметь вид  $y(t) = A + Bt + Ct^2 + Dt^3 + Et^4$ . С помощью МНК получим выражение для  $A$ , аналогично пунктам выше.



Проводя аналогичные п. 1 и 2 преобразования, приходим к следующей формуле вычисления выходного сигнала:

$$y(0) = 15 \left( \frac{(12 + 5m(1 + m)(-10 + 3m(1 + m))) \sum_{k=-m}^m s_k}{4(-3 + 2m)(-1 + 2m)(1 + 2m)(3 + 2m)(5 + 2m)} - \frac{35(-3 + 2m(1 + m)) \sum_{k=-m}^m k^2 s_k - 63 \sum_{k=-m}^m k^4 s_k}{4(-3 + 2m)(-1 + 2m)(1 + 2m)(3 + 2m)(5 + 2m)} \right)$$

Для 9 точек формула будет иметь вид:

$$y_9(n) = \frac{1}{429} (15s_{n-4} - 55s_{n-3} + 30s_{n-2} + 135s_{n-1} + 179s_n + 135s_{n+1} + 30s_{n+2} - 55s_{n+3} + 15s_{n+4})$$

После замены  $s_k = e^{j\omega k}$  приходим к формуле передаточной функции для сглаживания по 9 точкам:

$$\tilde{H}_9(f) = \frac{1}{429} (179 + 270\cos 2\pi f + 60\cos 4\pi f - 110\cos 6\pi f + 30\cos 8\pi f)$$

Посчитаем аналогично для 11, 13 и 15 точек.

$$\tilde{H}_{11}(f) = \frac{1}{429} (143 + 240\cos 2\pi f + 120\cos 4\pi f - 20\cos 6\pi f - 90\cos 8\pi f + 36\cos 10\pi f)$$

$$\tilde{H}_{13} = \frac{1}{2431} (677 + 1200\cos 2\pi f + 780\cos 4\pi f + 220\cos 6\pi f - 270\cos 8\pi f - 396\cos 10\pi f + 220\cos 12\pi f)$$

$$\begin{aligned} \tilde{H}_{15}(f) = \frac{1}{46189} (11063 + 20250\cos 2\pi f + 15000\cos 4\pi f + \\ + 7510\cos 6\pi f - 330\cos 8\pi f - 5874\cos 10\pi f + \\ + 5720\cos 12\pi f + 4290\cos 14\pi f) \end{aligned}$$

Графики передаточных функций представлены на рисунке 3.

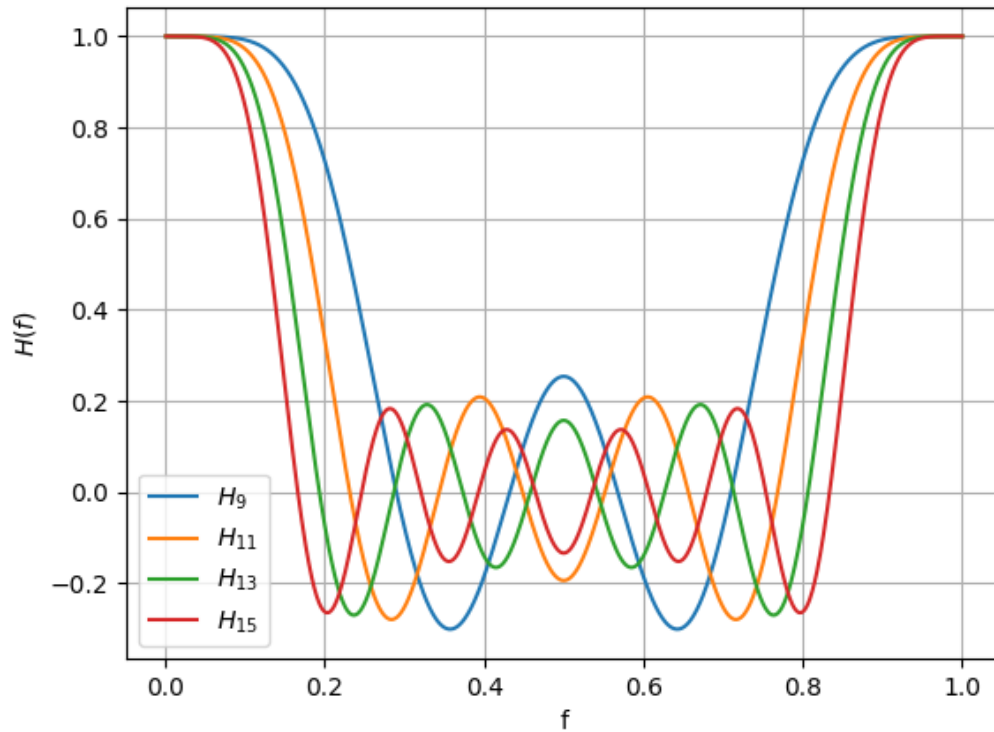


Рисунок 3 – Графики передаточных функций, полином четвертой степени

4. Из лекционных материалов были взяты формулы  $y(n)$  для сглаживания по формуле Спенсера для 15 и 21 точек.

$$y_{15}(n) = \frac{1}{320}(-3s_{n-7} - 6s_{n-6} - 5s_{n-5} + 3s_{n-4} + 21s_{n-3} + 46s_{n-2} - 67s_{n-1} + 74s_n + 67s_{n+1} + 46s_{n+2} + 21s_{n+3} + 3s_{n+4} - 5s_{n+5} - 6s_{n+6} - 3s_{n+7})$$

$$y_{21}(n) = \frac{1}{350}(-s_{n-10} - 3s_{n-9} - 5s_{n-8} - 5s_{n-7} - 2s_{n-6} + 6s_{n-5} + 18s_{n-4} + 33s_{n-3} + 47s_{n-2} + 57s_{n-1} + 60s_n + 57s_{n+1} + 47s_{n+2} + 33s_{n+3} + 18s_{n+4} + 6s_{n+5} - 2s_{n+6} - 5s_{n+7} - 5s_{n+8} - 3s_{n+9} - s_{n+10})$$

Соответствующие передаточные функции:

$$\tilde{H}_{15}(f) = \frac{1}{320}(74 + 134\cos 2\pi f + 92\cos 4\pi f + 42\cos 6\pi f + 6\cos 8\pi f - \\ - 10\cos 10\pi f - 12\cos 12\pi f - 6\cos 14\pi f)$$

$$\tilde{H}_{21}(f) = \frac{1}{350}(60 + 114\cos 2\pi f + 94\cos 4\pi f + 66\cos 6\pi f + \\ + 36\cos 8\pi f + 12\cos 10\pi f - 4\cos 12\pi f - 10\cos 14\pi f - 10\cos 16\pi f - \\ - 6\cos 18\pi f - 2\cos 20\pi f)$$

Графики передаточных функций представлены на рисунке 4.

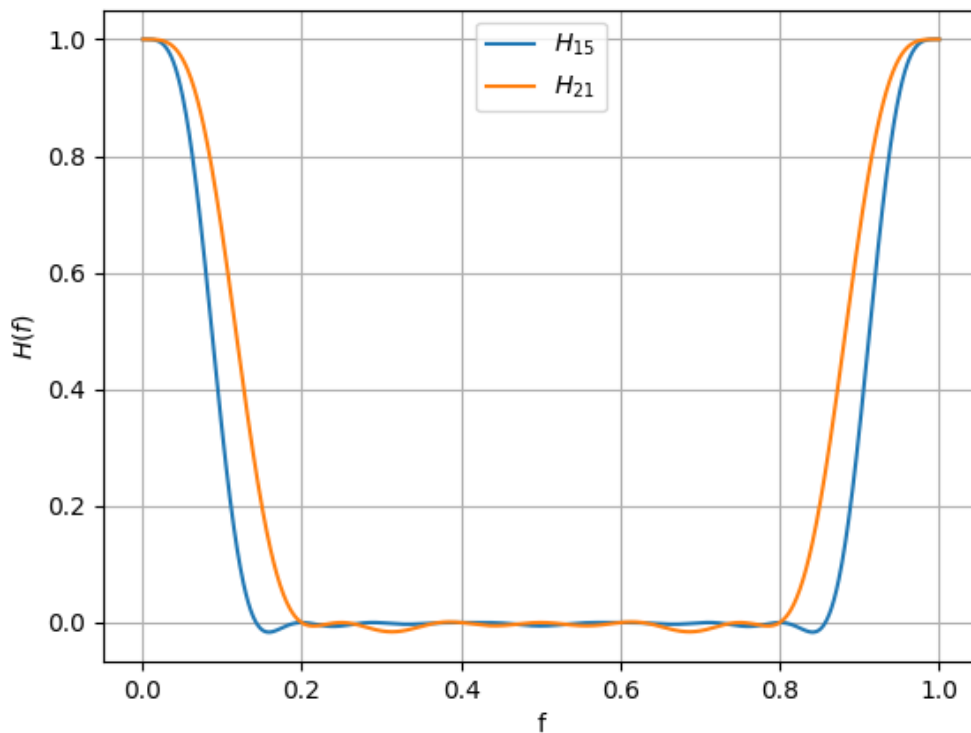


Рисунок 4 – Графики передаточных функций, формула Спенсера

5. «Шум» классически идентифицируется с высокими частотами, а «сообщение» или «информация» — с низкими частотами. Построим графики

рассмотренных передаточных функций в логарифмической шкале. Это позволит перемасштабировать график и более наглядно увидеть поведение передаточной функции на высоких и низких частотах, а также полосу пропускания. Эту величину называют логарифмической амплитудно-частотной характеристикой (ЛАХ):

$$H^* = 20 \lg H$$

Графики рассмотренных передаточных функций, построенных в логарифмической шкале, приведены ниже.

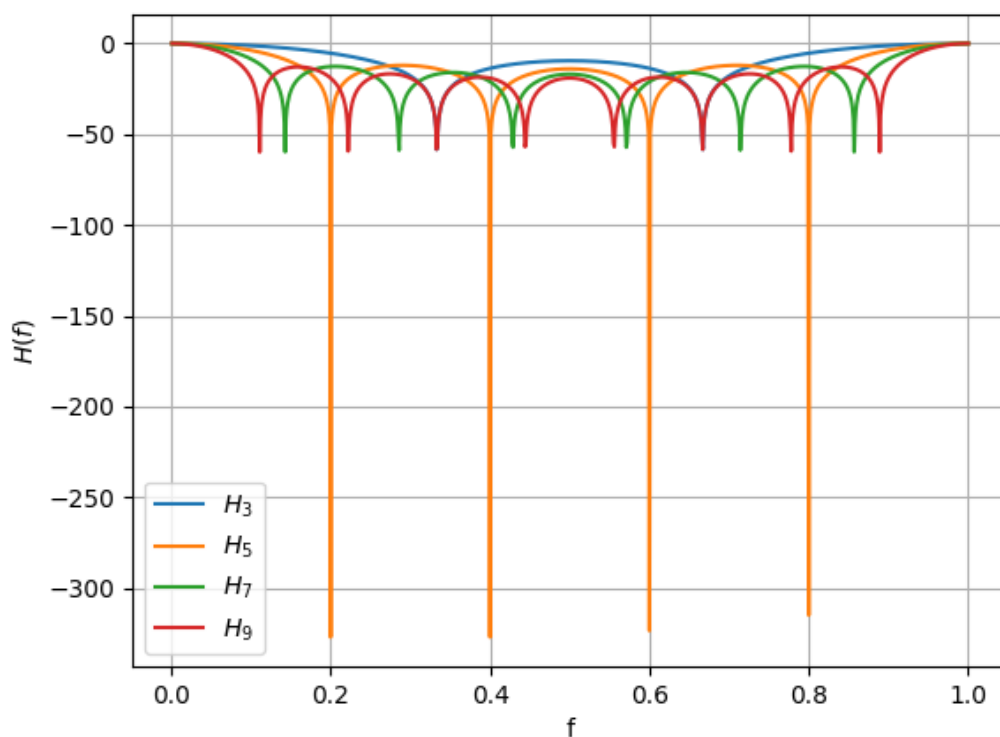


Рисунок 5 – Графики передаточных функций, полином первой степени, логарифмическая шкала

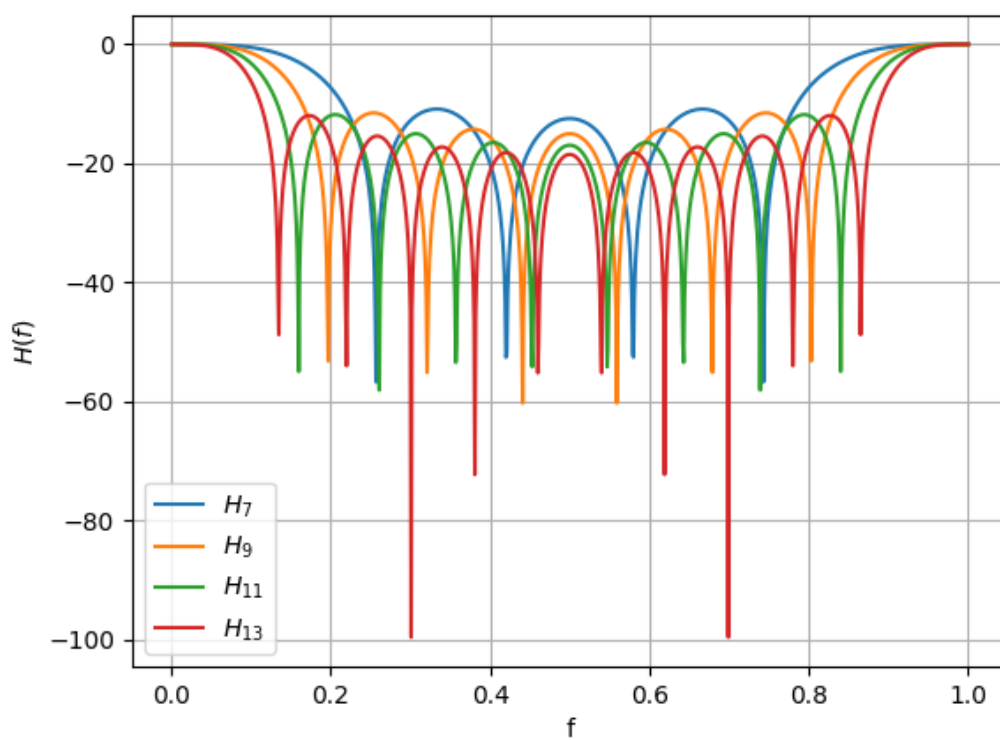


Рисунок 6 – Графики передаточных функций, полином второй степени, логарифмическая шкала

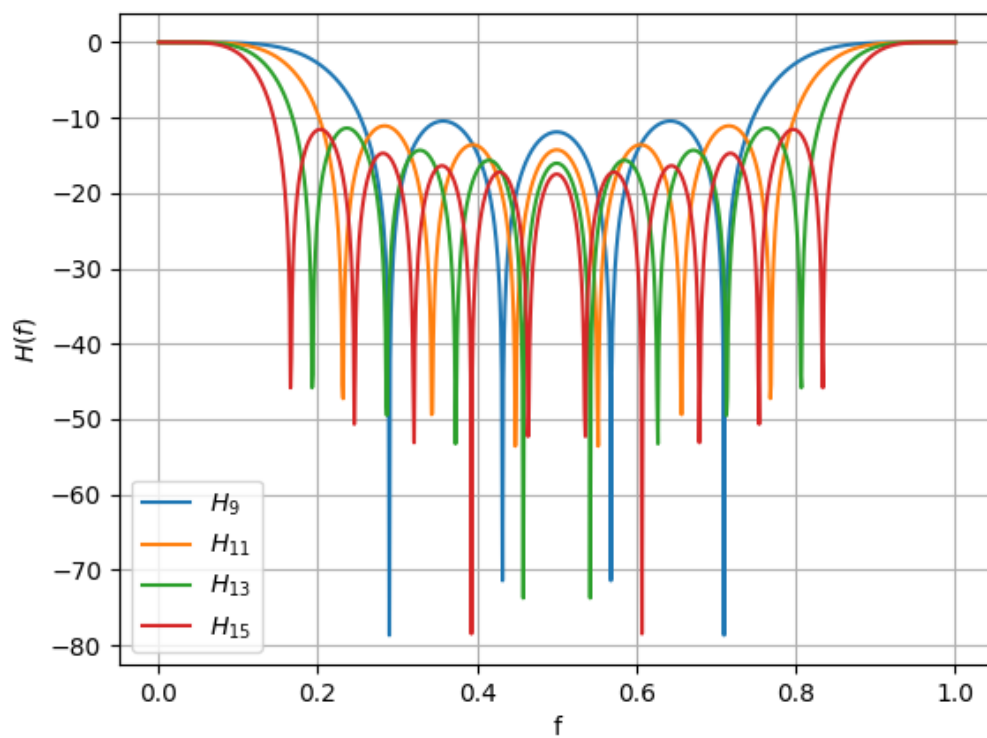


Рисунок 7 – Графики передаточных функций, полином четвертой степени, логарифмическая шкала

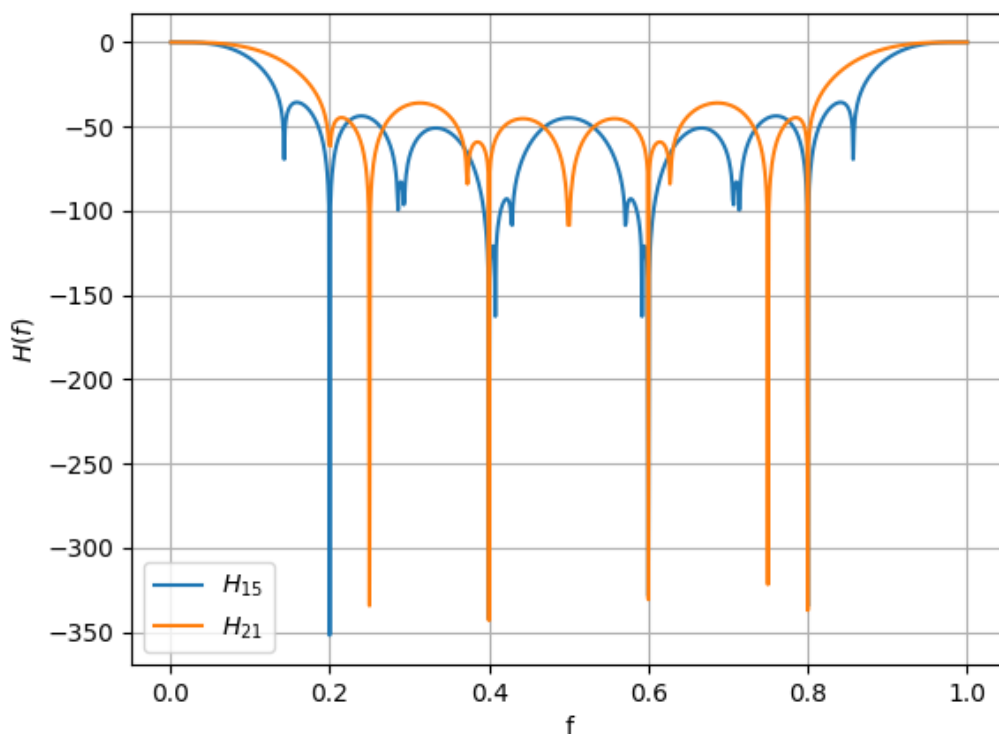


Рисунок 8 – Графики передаточных функций, формула Спенсера, логарифмическая шкала

6. Рассмотренные фильтры отличаются частотами среза и размерами полос пропускания. Для полиномиальных фильтров 1, 2 и 4 степени на графиках можно наблюдать, что чем больше точек используется для сглаживания, тем меньше размер полосы пропускания. От количества точек также зависят значения частот среза, поэтому выбирать фильтр и количество точек для сглаживания нужно в зависимости от поставленной задачи.

7. Выведем формулы передаточных функций рекурсивных фильтров, соответствующих формуле прямоугольников, формуле трапеций и формуле Симпсона.

Для формулы прямоугольников имеем следующее преобразование вход-

ного сигнала:

$$y_{n+1} = y_n + s_{n+\frac{1}{2}}$$

Пусть  $s_n = e^{j\omega n}$  и  $y_n = H(\omega)e^{j\omega n}$ , тогда:

$$\begin{cases} y_{n+1} = H(\omega)e^{j\omega n} + e^{j\omega(n+\frac{1}{2})} \\ y_{n+1} = H(\omega)e^{j\omega(n+1)} \end{cases}$$

$$H(\omega)e^{j\omega n}e^{j\omega} = H(\omega)e^{j\omega n} + e^{j\omega n}e^{\frac{1}{2}j\omega}$$

$$H(\omega)(e^{j\omega n}e^{j\omega} - e^{j\omega n}) = e^{j\omega n}e^{\frac{1}{2}j\omega}$$

$$H(\omega)(e^{j\omega} - 1) = e^{\frac{1}{2}j\omega}$$

$$H(\omega) = \frac{1}{e^{\frac{j\omega}{2}} - e^{\frac{-j\omega}{2}}} = \frac{1}{2j\sin\frac{\omega}{2}}$$

$$\tilde{H}(f) = \frac{1}{2j\sin(\pi f)}$$

Для формулы трапеций:

$$y_{n+1} = y_n + \frac{1}{2}(s_n + s_{n+1})$$

$$\begin{cases} y_{n+1} = H(\omega)e^{j\omega n} + \frac{e^{j\omega n} + e^{j\omega(n+1)}}{2} \\ y_{n+1} = H(\omega)e^{j\omega(n+1)} \end{cases}$$

$$H(\omega)e^{j\omega n}e^{j\omega} = H(\omega)e^{j\omega n} + e^{j\omega n}\frac{1 + e^{j\omega}}{2}$$

$$H(\omega)(e^{j\omega} - 1) = \frac{1 + e^{j\omega}}{2}$$

$$H(\omega) = \frac{\cos\frac{\omega}{2}}{2j\sin(\frac{\omega}{2})}$$

$$\tilde{H}(f) = \frac{\cos\pi f}{2j\sin\pi f}$$



Для формулы Симпсона:

$$y_{n+1} = y_{n-1} + \frac{1}{3}(s_{n-1} + 4s_n + s_{n+1})$$

$$\begin{cases} y_{n+1} = H(\omega)e^{j\omega(n-1)} + \frac{e^{j\omega(n-1)} + 4e^{j\omega n} + e^{j\omega(n+1)}}{3} \\ y_{n+1} = H(\omega)e^{j\omega(n+1)} \end{cases}$$

$$H(\omega)(e^{j\omega n}e^{j\omega}) = H(\omega)e^{j\omega n}e^{-j\omega} + e^{j\omega n}\frac{e^{-j\omega} + 4 + e^{j\omega}}{3}$$

$$H(\omega)(e^{j\omega} - e^{-j\omega}) = \frac{e^{-j\omega} + 4 + e^{j\omega}}{3} = \frac{\cos\omega + 2}{3j\sin\omega}$$

$$\tilde{H}(f) = \frac{\cos 2\pi f + 2}{3j\sin 2\pi f}$$

Графики передаточных функций приведены на рисунке 9.

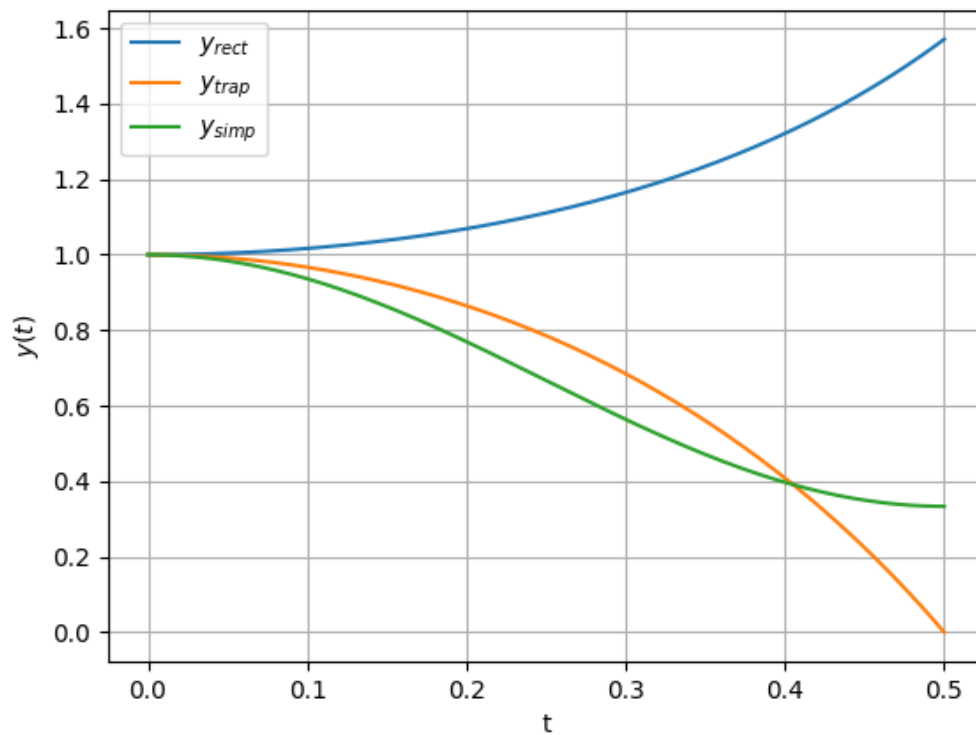


Рисунок 9 – Графики передаточных функций, формула прямоугольников, трапеций, Симпсона

Графики отношения вычисляемого в результате фильтрации значения к истинному для рассмотренных формул приведены на рисунках 10, 11 и 12.

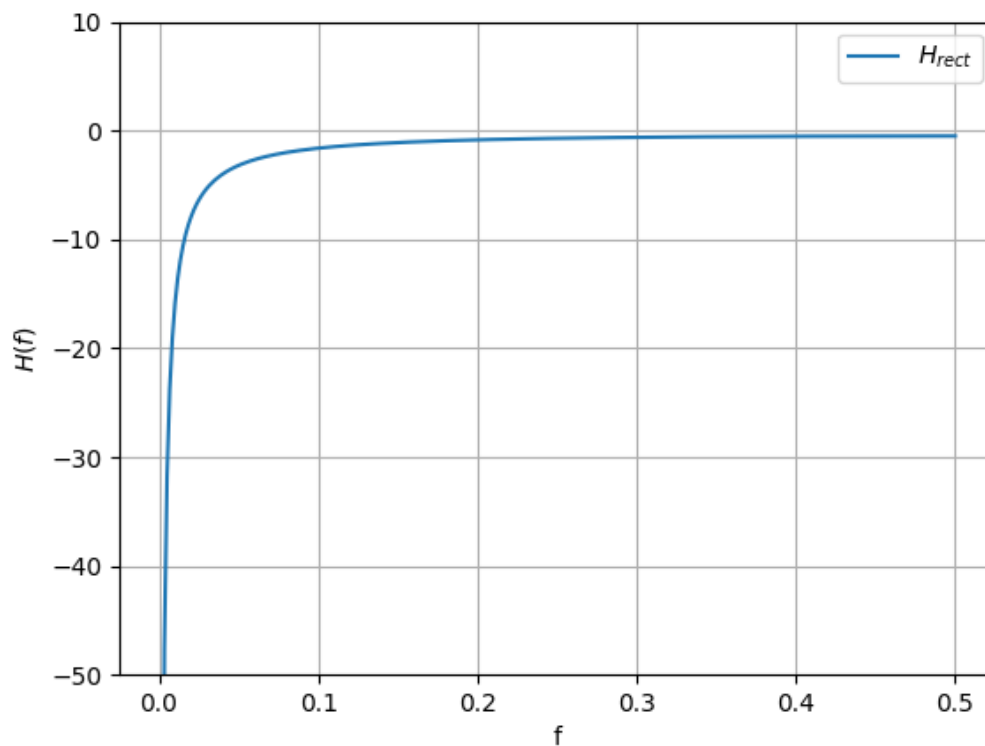


Рисунок 10 – График отношения вычисляемого значения к истинному, формула прямоугольников

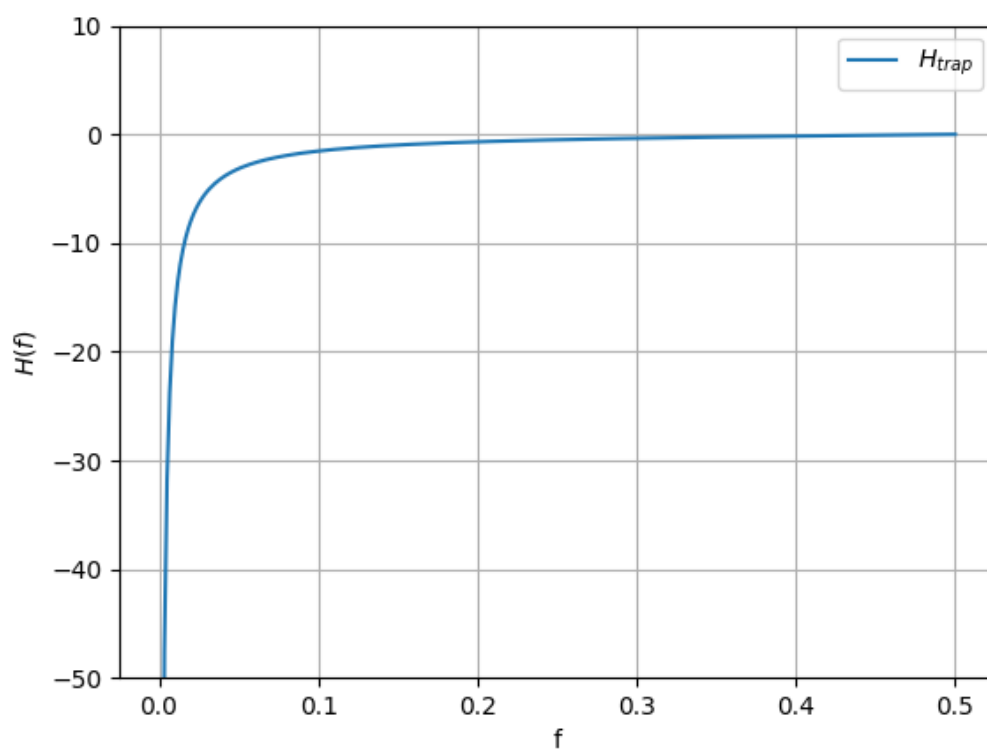


Рисунок 11 – График отношения вычисляемого значения к истинному,  
формула трапеций

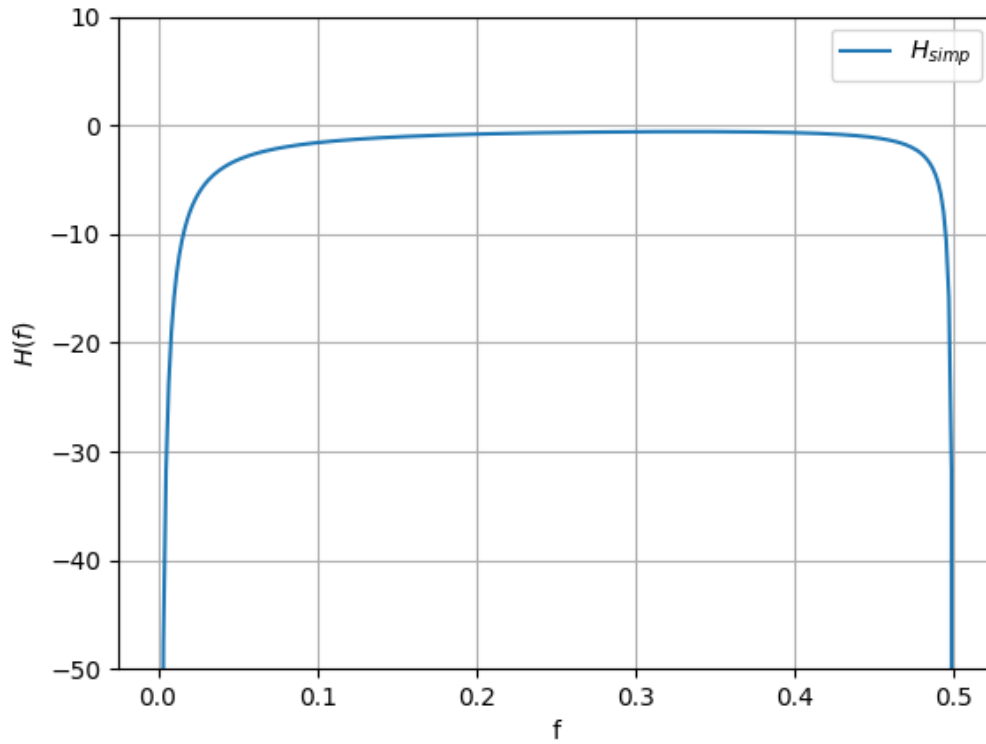


Рисунок 12 – График отношения вычисляемого значения к истинному, формула Симпсона

8. Выведем формулу передаточной функции рекурсивного фильтра, соответствующего квадратурной формуле.

Квадратурная формула преобразует сигнал следующим образом:

$$y_{n+2} = y_{n-1} + \frac{1}{8}(s_{n+2} + 3s_{n+1} + 3s_n + s_{n-1})$$

$$\begin{cases} y_{n+2} = H(\omega)e^{j\omega(n-1)} + \frac{e^{j\omega(n+2)} + 3e^{j\omega(n+1)} + 3e^{j\omega n} + e^{j\omega(n-1)}}{8} \\ y_{n+2} = H(\omega)e^{j\omega(n+2)} \end{cases}$$

$$H(\omega)(e^{j\omega n}e^{2j\omega}) = H(\omega)e^{j\omega n}e^{-j\omega} + e^{j\omega n}\frac{e^{2j\omega} + 3e^{j\omega} + 3 + e^{-j\omega}}{8}$$

$$H(\omega)(e^{2j\omega} - e^{-j\omega}) = \frac{e^{2j\omega} + 3e^{j\omega} + 3 + e^{-j\omega}}{8}$$

$$H(\omega) = \frac{2\cos\frac{3\omega}{2} + 6\cos\frac{\omega}{2}}{16jsin\frac{3\omega}{2}}$$

$$\tilde{H}(f) = \frac{\cos 3\pi f + 3\cos \pi f}{8jsin 3\pi f}$$

График передаточной функции приведен на рисунке 13.

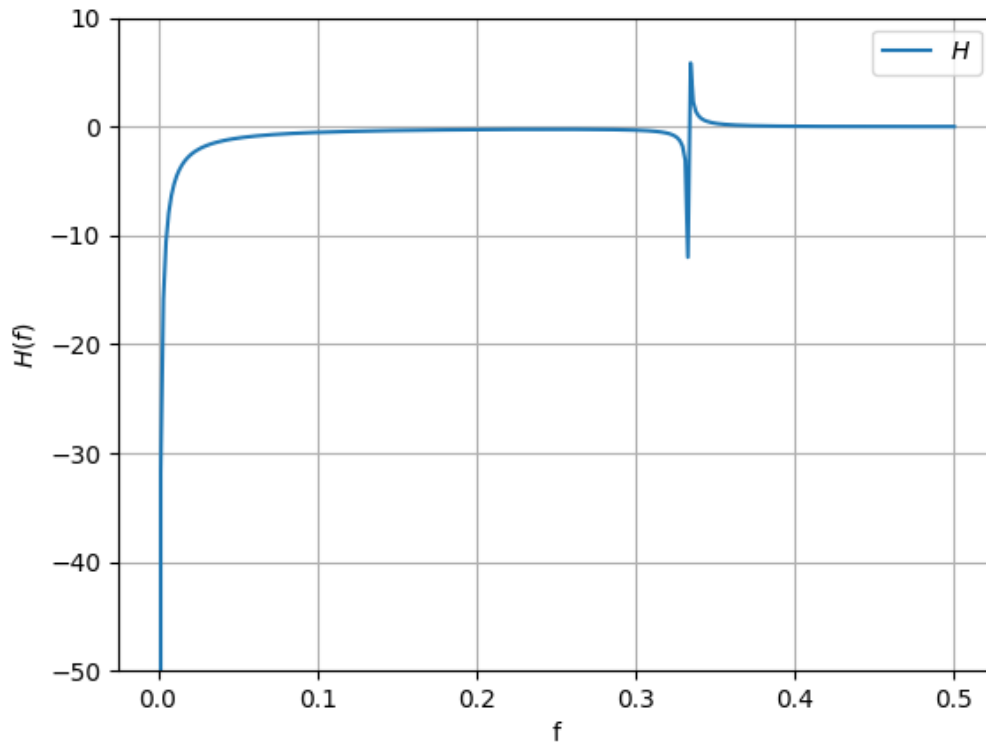


Рисунок 13 – График передаточной функции, квадратурная формула

Графики отношения вычисляемого в результате фильтрации значения к истинному представлен на рисунке 14.

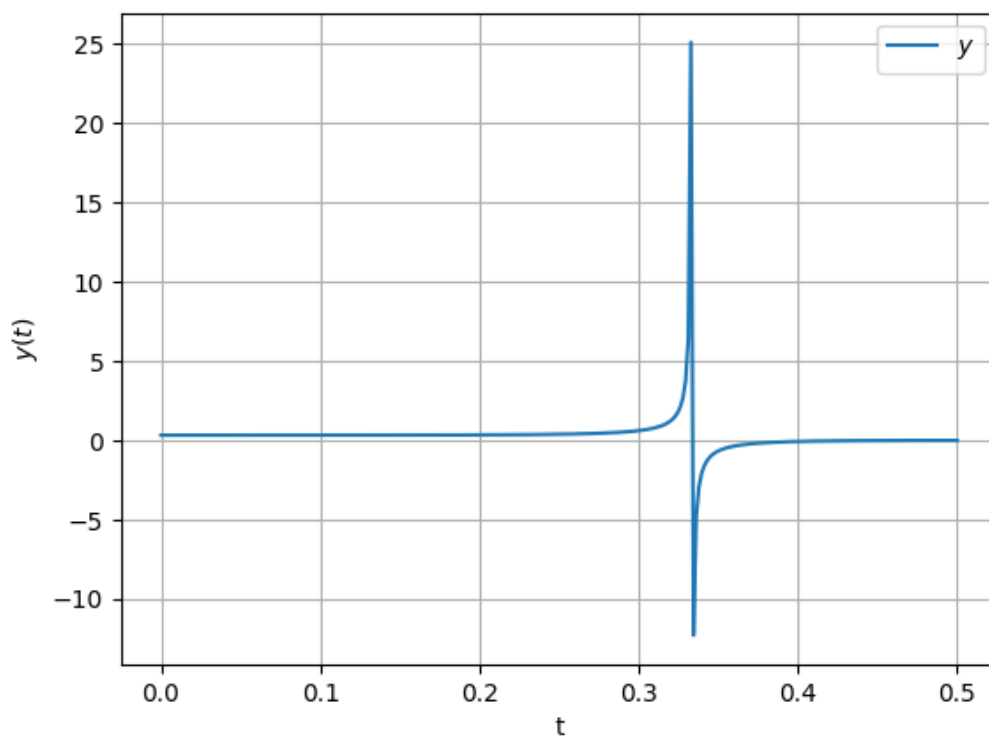


Рисунок 14 – График отношения вычисляемого значения к истинному, квадратурная формула

9. Формула прямоугольников завышает результаты на высоких частотах, а формула трапеций – занижает. Эти особенности легко объяснимы. Для одиночной гармоникой площадь трапеции по двум последовательным отсчетам всегда меньше, чем площадь с выпуклой дугой гармоникой между этими отсчетами, и разница тем больше, чем больше частота. Формула Симпсона отличается от формул трапеций и прямоугольников более высокой степенью касания единичного значения, что обеспечивает более высокую точность интегрирования в первой половине главного диапазона. Однако на высоких частотах погрешность начинает резко нарастать вплоть до выхода на бесконечность на конце диапазона.

У фильтра, соответствующего квадратурной формуле, очень широкая

полоса пропускания и на определенной частоте наблюдается разрыв.

### **Выводы.**

В результате выполнения работы были выведены формулы передаточных функций для фильтров, соответствующих полиномиальному сглаживанию 1, 2 и 4 степени с использованием методов наименьших квадратов. Также были выведены формулы передаточных функций для фильтров численного интегрирования.

По полученным формулам были построены графики и изучены свойства соответствующих фильтров.



## ПРИЛОЖЕНИЕ А. ИСХОДНЫЙ КОД ПРОГРАММЫ.

```
import math

import matplotlib.pyplot as plt
import numpy as np

f = np.linspace(0.001, 1.0, 1000)

def task1(fn=lambda x: x):
    h = lambda m: lambda x: np.array(
        [(1 + np.sum([2 * np.cos(2 * np.pi * m_ * x_) for m_ in
            range(1, m + 1)])) for x_ in x]) / (2 * m + 1)

    for i in range(1, 4 + 1):
        plt.plot(f, fn(h(i)(f)), label=rf'$H_{2 * i + 1}$')
    plt.xlabel('f')
    plt.ylabel(r'$H(f)$')
    plt.grid(True)
    plt.legend(loc="best")
    plt.show()

# task1()

def task2(fn=lambda x: x):
    h_7 = lambda x: 1 / 21 * (
        7 + 12 * np.cos(2 * np.pi * x) + 6 * np.cos(2 * np.pi
            * 2 * x) - 4 * np.cos(2 * np.pi * 3 * x))
    h_9 = lambda x: 1 / 231 * (59 + 108 * np.cos(2 * np.pi * x) +
        78 * np.cos(2 * np.pi * 2 * x) + 28 * np.cos(
```

```

        2 * np.pi * 3 * x) - 42 * np.cos(2 * np.pi * 4 * x))
h_11 = lambda x: 1 / 429 * (
        89 + 168 * np.cos(2 * np.pi * x) + 138 * np.cos(2 *
        np.pi * 2 * x) + 88 * np.cos(
        2 * np.pi * 3 * x) + 18 * np.cos(2 * np.pi * 4 * x) - 72
        * np.cos(
        2 * np.pi * 5 * x))
h_13 = lambda x: 1 / 143 * (
        25 + 48 * np.cos(2 * np.pi * x) + 42 * np.cos(2 * np.
        pi * 2 * x) + 32 * np.cos(
        2 * np.pi * 3 * x) + 18 * np.cos(2 * np.pi * 4 * x) - 22
        * np.cos(2 * np.pi * 6 * x))

plt.plot(f, fn(h_7(f)), label=r'$H_7$')
plt.plot(f, fn(h_9(f)), label=r'$H_9$')
plt.plot(f, fn(h_11(f)), label=r'$H_{11}$')
plt.plot(f, fn(h_13(f)), label=r'$H_{13}$')
plt.xlabel('f')
plt.ylabel(r'$H(f)$')
plt.grid(True)
plt.legend(loc="best")
plt.show()

```

```

# task2()

```

```

def task3(fn=lambda x: x):
    h_9 = lambda x: 1 / 429 * (179 + 270 * np.cos(2 * math.pi * x
    ) + 60 * np.cos(2 * math.pi * 2 * x) - 110 * np.cos(
    2 * math.pi * 3 * x) + 30 * np.cos(2 * math.pi * 4 * x))
    h_11 = lambda x: 1 / 429 * (
    143 + 240 * np.cos(2 * math.pi * x) + 120 * np.cos(2

```

```

        * math.pi * 2 * x) - 20 * np.cos(
2 * math.pi * 3 * x) - 90 * np.cos(2 * math.pi * 4 * x) +
        36 * np.cos(
2 * math.pi * 5 * x))
h_13 = lambda x: 1 / 2431 * (
        677 + 1200 * np.cos(2 * math.pi * x) + 780 * np.cos(2
        * math.pi * 2 * x) + 220 * np.cos(
2 * math.pi * 3 * x) - 270 * np.cos(2 * math.pi * 4 * x)
        - 396 * np.cos(
2 * math.pi * 5 * x) + 220 * np.cos(2 * math.pi * 6 * x))
h_15 = lambda x: 1 / 46189 * (
        11063 + 20250 * np.cos(2 * math.pi * x) + 15000 * np.
        cos(2 * math.pi * 2 * x) + 7510 * np.cos(
2 * math.pi * 3 * x) - 330 * np.cos(
2 * math.pi * 4 * x) - 5874 * np.cos(2 * math.pi * 5 * x)
        - 5720 * np.cos(2 * math.pi * 6 * x) + 4290 * np.cos(
2 * math.pi * 7 * x))

plt.plot(f, fn(h_9(f)), label=r'$H_9$')
plt.plot(f, fn(h_11(f)), label=r'$H_{11}$')
plt.plot(f, fn(h_13(f)), label=r'$H_{13}$')
plt.plot(f, fn(h_15(f)), label=r'$H_{15}$')
plt.xlabel('f')
plt.ylabel(r'$H(f)$')
plt.grid(True)
plt.legend(loc="best")
plt.show()

```

```
# task3()
```

```

def task4(fn=lambda x: x):
    h_21 = lambda x: 1 / 320 * (74 + 134 * np.cos(2 * math.pi * x
    ) + 92 * np.cos(4 * math.pi * x) + 42 * np.cos(
        6 * math.pi * x) + 6 * np.cos(8 * math.pi * x) - 10 * np.
        cos(10 * math.pi * x) - 12 * np.cos(
            12 * math.pi * x) - 6 * np.cos(14 * math.pi * x))
    h_15 = lambda x: 1 / 350 * (60 + 114 * np.cos(2 * math.pi * x
    ) + 94 * np.cos(4 * math.pi * x) + 66 * np.cos(
        6 * math.pi * x) + 36 * np.cos(8 * math.pi * x) + 12 * np.
        cos(10 * math.pi * x) - 4 * np.cos(
            12 * math.pi * x) - 10 * np.cos(14 * math.pi * x) - 10 *
            np.cos(16 * math.pi * x) - 6 * np.cos(
                18 * math.pi * x) - 2 * np.cos(20 * math.pi * x))

    plt.plot(f, fn(h_15(f)), label=r'$H_{15}$')
    plt.plot(f, fn(h_21(f)), label=r'$H_{21}$')
    plt.xlabel('f')
    plt.ylabel(r'$H(f)$')
    plt.grid(True)
    plt.legend(loc="best")
    plt.show()

# task4()

def task5():
    log_scaler = lambda x: 20 * np.log10(np.abs(x))
    task1(log_scaler)
    task2(log_scaler)
    task3(log_scaler)
    task4(log_scaler)

```

```

# task5()

def task7():
    h_rect = lambda x: (1 / (2j * np.sin(math.pi * x))).imag
    h_trap = lambda x: (np.cos(math.pi * x) / (2j * np.sin(math.
        pi * x))).imag
    h_simp = lambda x: ((np.cos(2 * math.pi * x) + 2) / (3j * np.
        sin(2 * math.pi * x))).imag

    y_rect = lambda x: math.pi * x / (np.sin(math.pi * x))
    y_trap = lambda x: np.cos(math.pi * x) * (math.pi * x / np.
        sin(x * math.pi))
    y_simp = lambda x: (np.cos(2 * math.pi * x) + 2) / 3

    t = np.linspace(1e-10, 0.5, 300)

    plt.plot(t, h_rect(t), label=r'$H_{rect}$')
    plt.xlabel('f')
    plt.ylabel(r'$H(f)$')
    plt.grid(True)
    plt.legend(loc="best")
    x1, x2, y1, y2 = plt.axis()
    plt.axis((x1, x2, -50, 10.))
    plt.show()

    plt.plot(t, h_trap(t), label=r'$H_{trap}$')
    plt.xlabel('f')
    plt.ylabel(r'$H(f)$')
    plt.grid(True)
    plt.legend(loc="best")

```

```

x1, x2, y1, y2 = plt.axis()
plt.axis((x1, x2, -50, 10.))
plt.show()

plt.plot(t, h_simp(t), label=r'$H_{\text{simp}}$')
plt.xlabel('f')
plt.ylabel(r'$H(f)$')
plt.grid(True)
plt.legend(loc="best")
x1, x2, y1, y2 = plt.axis()
plt.axis((x1, x2, -50, 10.))
plt.show()

plt.plot(t, y_rect(t), label=r'$y_{\text{rect}}$')
plt.plot(t, y_trap(t), label=r'$y_{\text{trap}}$')
plt.plot(t, y_simp(t), label=r'$y_{\text{simp}}$')
plt.xlabel('t')
plt.ylabel(r'$y(t)$')
plt.grid(True)
plt.legend(loc="best")
plt.show()

# task7()

def task8():
    h = lambda x: ((np.cos(3 * math.pi * x) + 3 * np.cos(math.pi
        * x)) / (8j * np.sin(3 * math.pi * x))).imag
    y = lambda x: (1 / 12) * (np.cos(3 * math.pi * x) + 3 * np.
        cos(math.pi * x)) * (
        (3 * math.pi * x) / np.sin(3 * math.pi * x))

```

```

t = np.linspace(1e-10, 0.5, 300)

plt.plot(t, h(t), label=r'$H$', )
plt.xlabel('f')
plt.ylabel(r'$H(f)$')
plt.grid(True)
plt.legend(loc="best")
x1, x2, y1, y2 = plt.axis()
plt.axis((x1, x2, -50, 10.))
plt.show()

plt.plot(t, y(t), label=r'$y$')
plt.xlabel('t')
plt.ylabel(r'$y(t)$')
plt.grid(True)
plt.legend(loc="best")
plt.show()

```

```
task8()
```